

## ЛИТЕРАТУРА

1. Развитие исследований по теории фильтрации в СССР/Под ред. П. Я. Полубариновой-Кочиной. М.: Наука, 1969.
2. Баренблатт Г. И. О некоторых неуставившихся движениях жидкости и газа в пористой среде.— ПММ, 1952, т. 16, вып. 1.
3. Баренблатт Г. И. Об автомодельных движениях жидкости в пористой среде.— ПММ, 1952, т. 16, вып. 6.
4. Баренблатт Г. И. Об одном классе точных решений плоской одномерной задачи нестационарной фильтрации газа в пористой среде.— ПММ, 1953, т. 17, вып. 6.
5. Ермолов Б. С., Сулимов А. А. и др. Природа и закономерности квазистационарного пульсирующего конвективного горения.— ФГВ, 1980, т. 16, № 3.
6. Андреев В. В., Лукьяничков Л. А. К механизму распространения детонации с малой скоростью в порошковом ТЭНе при искровом инициировании.— ФГВ, 1974, т. 10, № 6.
7. Нигматуллин Р. И. Основы механики гетерогенных сред. М.: Наука, 1978.
8. Kuo K. K., Vichnevetsky R., Summerfield M. Theory of flame front propagation in porous propellant charges under confinement.— AIAA J., 1973, vol. 11, N 4. Рус. пер. Ракетн. техника и космонавтика, 1973, т. 11, № 4.
9. Gough P. S., Zwarts F. J. Modeling heterogeneous two-phase reacting flow.— AIAA J., 1979, vol. 17, N 1. Рус. пер. Ракетн. техника и космонавтика, 1979, т. 17, № 1.

УДК 532.529.5

## ОБТЕКАНИЕ ТЕЛ ДВУХФАЗНЫМ ПОТОКОМ ТИПА ГАЗ — ТВЕРДЫЕ ЧАСТИЦЫ С УЧЕТОМ ЭРОЗИИ

А. П. Трунев, В. М. Фомин

(Новосибирск)

Течение смеси газа и твердых частиц часто сопровождается разрушением материала обтекаемых тел вследствие многочисленных соударений частиц с поверхностью. В процессе эрозии форма тела может значительно меняться, что влечет перестройку всей газодинамической картины течения. Поэтому необходимо включить описание процесса эрозии в известную схему расчета двухфазных потоков. С другой стороны, износ поверхности ослабляет прочностные характеристики конструкции, что является серьезной инженерной проблемой. Определению величин износа при эрозии в различных аэродинамических ситуациях посвящены работы [1—4], но в них не содержится корректной математической модели явления.

В данной работе сформулированы граничные условия для уравнений движения запыленного газа, непосредственно учитывающие разрушение поверхности при выпадении частиц. В рамках предложенной модели исследованы проблема эрозии тонкого плоского профиля и начальная стадия разрушения клина в гиперзвуковом запыленном потоке.

**1. Граничные условия, отвечающие эрозии.** Процесс эрозии развивается в результате соударений многих мелких частиц с поверхностью твердой границы. В каждом акте соударения некоторый объем материала удаляется с поверхности и уносится течением. Эффект удара одной микроскопической частицы также является микроскопическим, но если число ударов велико, объем унесенного в результате эрозии материала становится большим. Пусть до начала эрозии поверхность твердой границы описывалась уравнением

$$z = h_0(x, y) = 0.$$

В процессе эрозии исходная поверхность заметно меняется, так что в каждый момент времени уравнение поверхности будет иметь вид

$$z = h(x, y, t) = 0.$$

Масса материала, унесенного в результате эрозии за время  $\Delta t$  с единичной площадки, есть

$$(1.1) \quad \Delta M = \rho_* [h(x, y, t) - h(x, y, t + \Delta t)],$$

где  $\rho_*$  — плотность эродируемого материала. Если пренебречь эффектами кратных соударений, что справедливо при малом объемном содержании

нии частиц, то эрозия является суммой вкладов от ударов отдельных частиц и справедливо уравнение

$$(1.2) \quad \Delta M = \delta M n \Delta t,$$

где  $\delta M$  — масса материала, унесенного при ударе одной частицы;  $n$  — поток частиц на единичную площадку. Величину  $\delta M$  можно определить, зная массу одной частицы  $m_p$  и коэффициент эрозии  $E$ , по формуле

$$(1.3) \quad \delta M = E m_p.$$

Подставляя (1.3) в (1.2), (1.1), раскладывая в ряд Тейлора функцию  $h(x, y, t + \Delta t)$  около точки  $(x, y, t)$  и переходя к пределу  $\Delta t \rightarrow 0$ , находим

$$(1.4) \quad \rho_* \partial h / \partial t = E \rho_p (\mathbf{v}_p \cdot \mathbf{n}) \sqrt{1 + (\partial h / \partial x)^2 + (\partial h / \partial y)^2},$$

где  $\rho_p$ ,  $\mathbf{v}_p$  — плотность и скорость потока частиц;  $\mathbf{n}$  — внешняя нормаль к поверхности  $z = h(x, y, t)$ .

Соотношение (1.4) связывает параметры набегающего потока с изменением самой поверхности и параметрами эрозии. Поэтому задачи об обтекании тел двухфазным потоком с учетом эрозии сводятся к задачам с изменяющейся границей. Разрешая соответствующую задачу, можно наряду с различными величинами поля в объеме течения извлечь информацию о локальных величинах износа  $\delta h = h_0(x, y) - h(x, y, t)$ , т. е. прогнозировать эрозию. Для этого необходимо знать коэффициент эрозии  $E$ , который является функцией параметров соударения.

При испытаниях на эрозию образец исследуемого материала помещают в поток запыленного газа с известными параметрами. Вследствие эрозии масса образца изменится на величину

$$\Delta M = -\Delta t \int_S E \rho_p (\mathbf{v}_p \cdot \mathbf{n}) dS,$$

а масса израсходованного в процессе эрозии абразива есть

$$\Delta m_p = -\Delta t \int_S \rho_p (\mathbf{v}_p \cdot \mathbf{n}) dS,$$

где  $S$  — площадь эродированной поверхности. По определению получаем связь коэффициента эрозии  $\langle E \rangle = \Delta M / \Delta m_p$ , измеренного в эксперименте, с коэффициентом  $E$ :

$$(1.5) \quad \langle E \rangle = \left( \int_S E \rho_p (\mathbf{v}_p \cdot \mathbf{n}) dS \right) / \left( \int_S \rho_p (\mathbf{v}_p \cdot \mathbf{n}) dS \right).$$

В том случае, когда параметры потока частиц мало меняются вдоль образца, из полученной формулы следует  $\langle E \rangle = E$ . Так был определен коэффициент эрозии, использованный для прогнозирования величин износа в работах [1, 2]. С другой стороны, записывая формулу (1.4) в приращениях и разрешая относительно  $E$ , находим

$$(1.6) \quad E = -[\rho_* \delta h / \rho_p (\mathbf{v}_p \cdot \mathbf{n}) \delta t] [1 + (\partial h / \partial x)^2 + (\partial h / \partial y)^2]^{-1/2},$$

где  $\delta h = h_0(x, y) - h(x, y, \delta t)$ ;  $\delta t$  — время эрозии. Таким образом, зная распределение параметров потока частиц вдоль образца и экспериментальные значения локальных величин износа  $\delta h$ , можно найти по формуле (1.6) коэффициент эрозии  $E$ .

В диапазоне средних скоростей соударения поведение коэффициента эрозии изучено довольно подробно для многих материалов (см., например, [6, 7]). При более высокой скорости удара ( $v_p \geq 1$  км/с) можно воспользоваться данными по одиночному соударению, обработанными применительно к условиям эрозии. Ниже в расчетах использовалось следую-

щее выражение для коэффициента эрозии:

$$(1.7) \quad E = \frac{v^2}{2H_0} F(\alpha), \quad F(\alpha) = \\ = \begin{cases} \frac{4}{3} \left( \sin \alpha - \frac{1}{4} \right), & \alpha > 30^\circ, \\ \frac{4}{3} (\sin \alpha)^2, & \alpha \leq 30^\circ. \end{cases}$$

Здесь  $\alpha$  — угол атаки;  $H_0$  — эффективная энталпия эрозионного разрушения [8].

На фиг. 1 приведен график функции  $E(\alpha)$  (сплошная линия) вместе с данными экспериментов [9], полученными при соударении стальных шариков миллиметрового диаметра о свинцовую мишень. Сериям данных соответствуют следующие скорости соударения: 1 — 3,19; 2 — 3,81; 3 — 5,01 км/с. Такая зависимость эрозии от угла атаки является типичной в случае хрупкого износа.

Заметим наконец, что, зная коэффициент эрозии, можно определить величину потока массы продуктов эрозии, но при этом величины потоков импульса и энергии остаются неизвестными. Поэтому влияние продуктов эрозии на течение запыленного газа не рассматривается в данной работе. Проблема эрозии здесь понимается как решение известных уравнений движения запыленного газа [5] с граничным условием (1.4) в конкретных аэродинамических ситуациях.

**2. Обтекание тонкого профиля смесью газ — твердые частицы.** Рассмотрим задачу обтекания тонкого плоского симметричного профиля под нулевым углом атаки сверхзвуковым потоком запыленного газа. Будем считать, что газ баротропный и что движение частиц не оказывает влияния на параметры газового потока. В этом случае уравнения движения запыленного газа разделяются на уравнения газовой динамики и уравнения движения частиц в газовом потоке. В силу симметрии рассмотрим только обтекания верхней половины профиля, уравнение которого  $y = h_0(x)$ ,  $0 \leq x \leq b$  и  $y(0) = y(b) = 0$ . В отсутствие эрозии решение линеаризованных уравнений газовой динамики известно [10]:

$$(2.1) \quad \rho = \rho_\infty \left( 1 + \frac{M_\infty^2 v}{\omega u_\infty} \right), \quad u = u_\infty - \frac{v}{\omega}, \quad v = u_\infty h'_0(x - \omega y),$$

где  $\omega = \sqrt{M_\infty^2 - 1}$ ;  $M_\infty$  — число Маха;  $\rho_\infty$ ,  $u_\infty$  — соответственно плотность и скорость набегающего потока. Параметры потока частиц в данном приближении удовлетворяют уравнениям [5]:

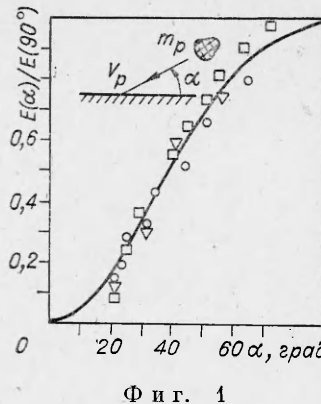
$$(2.2) \quad \frac{\partial}{\partial x} \rho_p u_p + \frac{\partial}{\partial y} \rho_p v_p = 0, \\ \left( u_p \frac{\partial}{\partial x} + v_p \frac{\partial}{\partial y} \right) u_p = \frac{3}{8} \frac{\rho C_D (\text{Re})}{\rho_s r_p} |\mathbf{v} - \mathbf{v}_p| (u - u_p), \\ \left( u_p \frac{\partial}{\partial x} + v_p \frac{\partial}{\partial y} \right) v_p = \frac{3}{8} \frac{\rho C_D (\text{Re})}{\rho_s r_p} |\mathbf{v} - \mathbf{v}_p| (v - v_p),$$

где  $C_D(\text{Re})$  — коэффициент сопротивления; число Рейнольдса  $\text{Re} = 2r_p \rho |\mathbf{v} - \mathbf{v}_p| / \mu$ ;  $\rho_s$  — плотность материала частицы;  $r_p$  — ее радиус;  $\mu$  — вязкость газа. Границные условия для уравнений (2.2) зададим на линии Маха  $x = \omega y$  в виде

$$(2.3) \quad \rho_p = \rho_{p\infty}, \quad u_p = u_\infty, \quad v_p = 0.$$

Решение системы (2.2) при условии (2.3) с учетом (2.1) представим в виде

$$(2.4) \quad \rho_p = \rho_{p\infty} \left( 1 - \frac{M_\infty^2 \eta}{\omega} \right)^{-1}, \quad u_p = u_\infty - \frac{v_p}{\omega}, \quad v_p = u_\infty \eta,$$



Фиг. 1

где  $\xi = x - \omega t$ , а функция  $\eta(\xi)$  удовлетворяет обыкновенному дифференциальному уравнению

$$(2.5) \quad \dot{\eta}' = \frac{3}{8} \frac{\rho M_\infty C_D (\text{Re}) |h'_0(\xi) - \eta| (h'_0(\xi) - \eta)}{\rho_S \omega r_p (1 - M_\infty^2 \eta/\omega)}$$

с начальными данными  $\eta(0) = 0$ . Число Рейнольдса в уравнении (2.5) имеет следующее выражение:

$$\text{Re} = \frac{2r_p u_\infty M_\infty \rho}{\mu \omega} |h'_0(\xi) - \eta|.$$

Считая, что частицы движутся в газе в стоксовом режиме, и ограничиваясь линейным приближением в уравнении (2.5), находим

$$(2.6) \quad \eta' = l_p^{-1} (h'_0(\xi) - \eta).$$

Здесь  $l_p = 2\rho_S \omega r_p^2 / M_\infty \mu_\infty$  — длина зоны релаксации частиц.

Так как линейные скорости перемещения поверхности профиля составляют малую величину  $\sim \rho_p / \rho_* \leq 10^{-3}$  от характерной амплитуды возмущений скорости газового потока  $u_\infty h'_0$ , то можно пренебречь этим дополнительным возмущением при решении газодинамической задачи, т. е. в формулах (2.1), (2.6) положить  $h = h(\xi, t)$ . Используя граничное условие (1.4) и выражение (1.7), имеем

$$\partial h / \partial t = (dx_0 / dt) \partial h / \partial x_1 - G (\partial h / \partial x_1 - \eta)^3, \quad x_1 = x - x_0(t),$$

где  $x_0(t)$  — положение передней кромки;  $G = 2\rho_{p\infty} u_\infty^3 / 3\rho_* H_\infty$ . Полученное уравнение решается совместно с (2.6) при следующих условиях:

$$h(x_1, 0) = h_0(x), \quad h(0, t) = 0.$$

Функция  $x_0(t)$ , как это можно видеть, удовлетворяет уравнению  $\frac{dx_0}{dt} = G \left( \frac{\partial h}{\partial x_1}(0, t) \right)^2$ ,  $x_0(0) = 0$ .

Таким образом, задача обтекания тонкого профиля в сверхзвуковом потоке смеси газа с твердыми частицами с учетом эрозии сводится к следующей: найти функции  $h$ ,  $\eta$ ,  $x_0 \in C^1$  в области  $D(x_0 \leq x \leq X; 0 \leq t \leq T)$ , удовлетворяющие системе уравнений

$$\begin{aligned} \frac{\partial h}{\partial t} &= \frac{dx_0}{dt} \frac{\partial h}{\partial x_1} - G \left( \frac{\partial h}{\partial x_1} - \eta \right)^3, \\ \frac{d\eta}{dx_1} &= l_p^{-1} \left( \frac{\partial h}{\partial x_1} - \eta \right), \quad \frac{dx_0}{dt} = G \left( \frac{\partial h}{\partial x_1}(0, t) \right)^2 \end{aligned}$$

и условиям

$$h(0, t) = 0, \quad \eta(0) = 0, \quad x_1 = x - x_0(t);$$

$$h(x_1, 0) = h_0(x), \quad x_0(0) = 0, \quad \partial h / \partial x_1(x_1, 0) = h'_0(x).$$

Правая граница области  $x = X$  не входит в постановку задачи и находится в процессе решения как точка, в которой разность  $(h' - \eta)$  меняет знак.

Поставленная задача имеет частное решение вида

$$(2.7) \quad \begin{aligned} h(x_1, t) &= (1 - 2At)^{-1/2} f(x_1), \quad \eta = (1 - 2At)^{-1/2} g(x_1), \\ x_0(t) &= -\frac{G f_0^{1/2}}{2A} \ln(1 - 2At). \end{aligned}$$

Здесь  $A$  — постоянная интегрирования, а функции  $f(x_1)$  и  $g(x_1)$  удовлетворяют уравнениям

$$(2.8) \quad G f_0^{1/2} f' - A f = G (f' - g)^3, \quad f(0) = 0, \quad l_p g' = f' - g, \quad g(0) = 0, \quad f'_0 = f'(0).$$

Система уравнений (2.8) описывает свойство профилей с заданным наклоном и кривизной:

$$h'_0(0) = f'_0(0), h''_0(0) = 3f'_0/2l_p - A/2Gf'_0.$$

Из полученного решения следует, что выпуклый профиль ( $h''_0(0) < 0$  и  $A > 0$ ) при эрозии становится еще более выпуклым, а скорость его износа растет со временем. Напротив, всякий вогнутый профиль, у которого  $h''_0(0) > 3f'_0/2l_p$ , при шлифовании уплощается, и скорость его износа со временем падает. Эти особенности шлифования тонкого профиля показаны на фиг. 2. Для удобства рассмотрения продольный масштаб изменен в  $l_p$  раз, а поперечный — в  $l_p f'_0$  раз. Линии 1—5 соответствуют положению поверхности выпуклого профиля при эрозии ( $At = 0; 0,5; 1$  соответственно), а линии 4—6 — поверхности вогнутого профиля с противоположным по знаку параметром  $A$  ( $|A|t = 0; 0,5; 1$  соответственно). Штриховыми линиями обозначена нулевая линия Маха.

3. Эрозия клина в сверхзвуковом потоке. Рассмотрим задачу обтекания клина потоком газа с твердыми частицами. Клин считаем достаточно тонким, а скорость набегающего потока  $u_\infty$  такой, что ударная волна будет присоединенной. Угол клина обозначим  $2\theta$ , как показано на фиг. 3, а. Используем опять приближение, когда движение твердых частиц не влияет на параметры газового потока. Следуя известным результатам [10], решение, описывающее течение газа за ударной волной, представим в виде (3.1)  $\varepsilon = \rho_\infty/\rho$ ,  $u = u_\infty \cos \beta \cos \theta/\cos(\beta - \theta)$ ,  $v = u_\infty \cos \beta \sin \theta/\cos(\beta - \theta)$ . Параметры движения твердых частиц удовлетворяют системе уравнений (2.2), для которой на линии ударной волны  $y = x \tan \beta$  должны выполняться условия

$$(3.2) \quad \rho_p = \rho_{p\infty}, \quad u_p = u_\infty, \quad v_p = 0.$$

Это означает, что набегающий поток газа и частиц равновесный по скоростям.

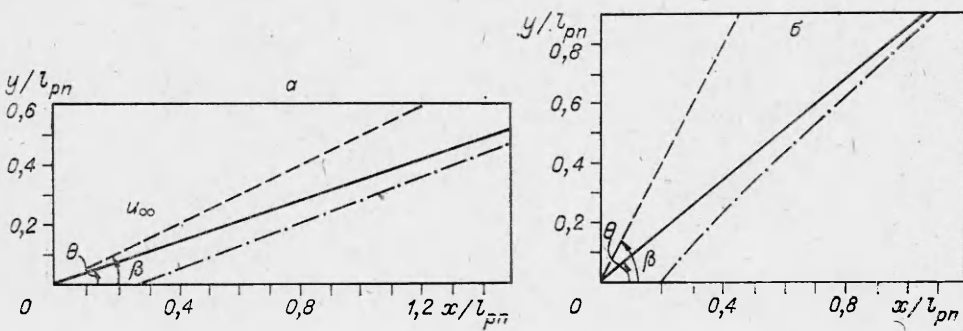
Решение системы уравнений (2.2) с граничными условиями (3.2) представим в виде

$$\rho_p = \rho_{p\infty}/(1 - (1 - \varepsilon)\eta), \quad u_p = u_\infty - (u_\infty - u)\eta, \quad v_p = v\eta,$$

где функция  $\eta(\xi)$  удовлетворяет уравнению

$$(3.3) \quad \eta' = \frac{3}{8} \frac{\rho C_D (\text{Re}) \sin \theta \operatorname{ctg} \beta}{\rho_S r_p \cos(\beta - \theta)} \frac{(1 - \eta)^2}{1 - (1 - \varepsilon)\eta}, \quad \eta(0) = 0.$$

Здесь  $\text{Re} = \text{Re}_0(1 - \eta)$ ;  $\text{Re}_0 = 2r_p \rho v / \mu \cos \beta$ ;  $\xi = x \tan \beta - y$ . Далее использована степенная аппроксимация коэффициента сопротивления



Фиг. 3

$C_D(\text{Re}) = C_n \text{Re}^{-n}$ . Решение уравнения (3.3) имеет в этом случае вид

$$\xi = l_{pn} \left\{ \frac{\varepsilon}{n} [(1 - \eta)^{n-1} - 1] + \frac{1 - \varepsilon}{n} [1 - (1 - \eta)^n] \right\},$$

$$\text{где } l_{pn} = \frac{8}{3} \frac{\rho_s \text{Re}_0^n \cos(\beta - \theta)}{\rho C_n \sin \theta \operatorname{ctg} \beta} r_p.$$

Следует заметить, что при  $n = 0,5$  полученное решение совпадает с известным, приведенным в [11]. На фиг. 4 представлены результаты расчетов функции  $\eta(\xi)$  для различных законов сопротивления при  $\varepsilon = 0,32$  (линии 1—3 соответствуют  $n = 0; 0,5; 1$ ). Среди двух параметров  $n$  и  $l_{pn}$  определяющим является длина релаксации. Так, если закон сопротивления выбран не точно, но длина релаксации определена правильно, максимальная ошибка в определении параметров потока частиц не превышает 25 %.

Рассмотрим эрозию клина в линейном приближении. Коэффициент эрозии выбираем в виде (1.7). Подставляя полученные решения в формулу (1.4) и интегрируя, находим

$$(3.4) \quad h(y, t) = y \operatorname{ctg} \theta + \frac{\rho_{p\infty} u_\infty}{\rho_*} \left( \frac{u_\infty^2}{2H_0} \frac{4}{3} \sin^2 \theta \right) \frac{(1 - \eta)^2}{1 - (1 - \varepsilon) \eta} t,$$

где функция  $\eta(\xi)$  вычисляется на поверхности клина, т. е. при  $\xi = y(\operatorname{tg} \beta \operatorname{ctg} \theta - 1)$ .

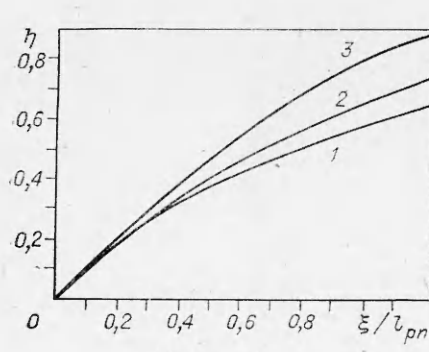
Так как  $\eta(\xi)$  монотонно изменяется вдоль поверхности клина, то максимальная эрозия будет иметь место у носика клина. Скорость износа передней кромки равна

$$\frac{dx_0}{dt} = \frac{\rho_{p\infty}}{\rho_*} \left( \frac{u_\infty^2}{2H_0} \frac{4}{3} \sin^2 \theta \right) u_\infty.$$

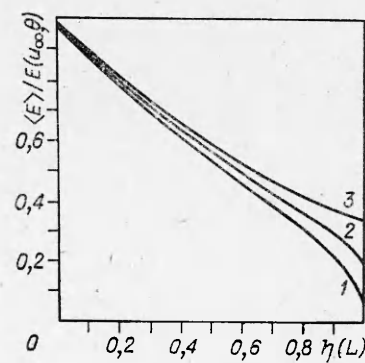
На фиг. 3, а представлены результаты расчета эрозии тонкого клина при следующих параметрах:  $\theta = 19^\circ$ ,  $M_\infty = 5$ ,  $x_0 t = 0,3l_p$ ,  $n = 0,5$ . Сплошная линия указывает положение поверхности клина до начала эрозии, а последующее ее изменение — штрихпунктирная линия. Величина износа практически линейно убывает с расстоянием от передней кромки, так как параметр  $\xi/l_p$  изменяется здесь незначительно и не превышает 0,2. На фиг. 3, б показана эрозия поверхности клина с углом раствора  $\theta = 40^\circ$ ,  $M_\infty = 5$  и  $n = 0,5$ . Можно отчетливо наблюдать неравномерный вдоль поверхности износ. Штриховой линией на фиг. 3, а, б указано положение ударной волны до начала эрозии.

Используя уравнение (1.5) и полученное решение, вычислим средний коэффициент эрозии по формуле

$$\langle E \rangle = E(u_\infty, \theta) \frac{n}{2+n} \left[ \frac{1 - (1 - \eta)^{2+n}}{1 - (1 - \eta)^n} \right]_{\xi=L},$$



Фиг. 4



Фиг. 5

где  $L = H(\tan \beta \cot \theta - 1)$ ;  $H$  — высота клина. Из полученного соотношения видно, что краевые эффекты значительно искажают характер поведения коэффициента эрозии при его осреднении, так как  $u_\infty$  и  $\theta$  влияют на значение  $\eta(\xi)$  в краевой точке  $\xi = L$  (фиг. 5, линии 1—3 соответствуют  $n = 0; 0,5; 1$ ). Таким образом, измерения необходимо проводить либо на очень длинных клиньях ( $L \gg l_p$ ), либо на коротких ( $L \ll l_p$ ).

Как следует из результатов, приведенных на фиг. 3, а, б, клин затупляется при эрозии. Угол наклона поверхности клина в окрестности передней кромки определяется из соотношения  $\tan \theta_1 = \tan \theta \left[ 1 + \frac{x_0 t}{l_p} (2 + \varepsilon) \times \right.$

$\left. \times (\tan \beta - \tan \theta) \right]$ . Возмущение параметров газового потока будет мало, если  $\theta_1 - \theta \ll \theta$ . Это имеет место при условии  $\tau = x_0 t / l_p \ll 1$ , поэтому погрешность линейной теории имеет порядок  $O(\tau^2)$ . Уравнение (3.4), таким образом, имеет вид

$$h(y, t) = h(y, 0) + [l_p(1 - \eta)^3 / (1 - (1 - \varepsilon)\eta)]\tau + l_p O(\tau^2),$$

где явным образом указана точность использованного приближения.

Поступила 6 X 1981

#### ЛИТЕРАТУРА

- Grant G., Tabakoff W. Erosion prediction in turbomachinery from environmental solid particles. — J. Aircraft, 1975, vol. 12, p. 471.
- Шелдон Г. Л., Маджи Я., Кроу С. Т. Эрозия трубы в газовом потоке, содержащем частицы. — Теоретические основы инженерных расчетов, 1977, № 2.
- Laitone J. A. Erosion prediction near a stagnation point resulting from aerodynamically entrained solid particles. — J. Aircraft, 1979, vol. 16, p. 809.
- Рафиков Р. В., Зауличный Е. Г. и др. Численное исследование двухфазного течения в осесимметричном канале с учетом реальных механизмов разрушения его стенок. — Изв. СО АН СССР. Сер. техн. наук, 1981, № 3, вып. 1.
- Marble F. Dynamics of dusty gases. — In: Ann. Rev. of Fluid Mech. Vol. 2. N. Y., 1970.
- Wakeman T., Tabakoff W. Erosion behavior in a simulated jet engine environment. — J. Aircraft, 1979, vol. 16, p. 828.
- Шелдон Г. Л. Сходства и различия в эрозионном поведении материалов. — Теоретические основы инженерных расчетов, 1970, № 3.
- Полежаев Ю. В. Процесс установления эрозионного разрушения материала препятствия при многократном соударении частицами. — ИФЖ, 1979, т. 37, № 3.
- Bryan G. M., Pugh E. M. Cratering of lead oblique impacts of hypervelocity steel pellets. — J. Appl. Phys., 1962, vol. 33, N 2.
- Лойцянский Л. Г. Механика жидкости и газа. М.: Наука, 1978.
- Салтанов Г. А. Сверхзвуковые двухфазные течения. Минск: Высшая школа, 1972.

УДК 532.529.5

#### О СТАЦИОНАРНЫХ РЕШЕНИЯХ УРАВНЕНИЙ ДВИЖЕНИЯ ЖИДКОСТИ С ПУЗЫРЬКАМИ ГАЗА

С. И. Плаксин

(Новосибирск)

Известно, что жидкость с пузырьками газа является примером нелинейной диспергирующей среды, существование стационарных возмущений в ней обусловлено взаимной компенсацией нелинейных и дисперсионных эффектов. При этом нелинейность газожидкостной смеси определяется гидродинамической нелинейностью, нелинейностью колебаний пузырьков и уравнения состояния жидкого компонента среды. Сжимаемость смеси зависит от сжимаемости ее жидкого и газового компонентов. В [1—3] получены стационарные решения системы уравнений для двухфазной среды, включающей нелинейное уравнение второго порядка типа уравнения Рэлея для одиночной полости. В этих работах предполагалось, что движение пузырьков относительно жидкости отсутствует, а их число в единице объема смеси постоянно. Кроме того, в [2] уравнения гидродинамики линейны, в [1] жидкий компонент среды несжимаем.